

EXAMEN CRITIQUE DES DONNEES
SUR LA REACTION $^{103}\text{Rh}(n, n')$ $^{103}\text{Rh}^m$

by

P. RIBON

$^{103}\text{Rh}(n, n')$ $^{103}\text{Rh}^m$ 反応に関する核データの評価

河原崎 雄紀(日本原子力研究所)

Rhodium-103に対する中性子の非弾性散乱の核データは、炉物理の立場から重要なものであるが、現時点において $^{103}\text{Rh}(n, n')$ $^{103}\text{Rh}^m$ 反応について、多くの人達が種々の方法で測定しているが、得られたデータが全て一致した値を示している訳ではない。したがつてここで、この反応に関与する資料を集め、 ^{103}Rh の準位構造図について、次に $^{103}\text{Rh}(n, n')$ $^{103}\text{Rh}^m$ の断面積について、そして最後に得られたデータの値の間に、測定法に依存して、どのような関係があるかを調べた。

^{103}Rh の準位構造図を Fig. 1 に示す。

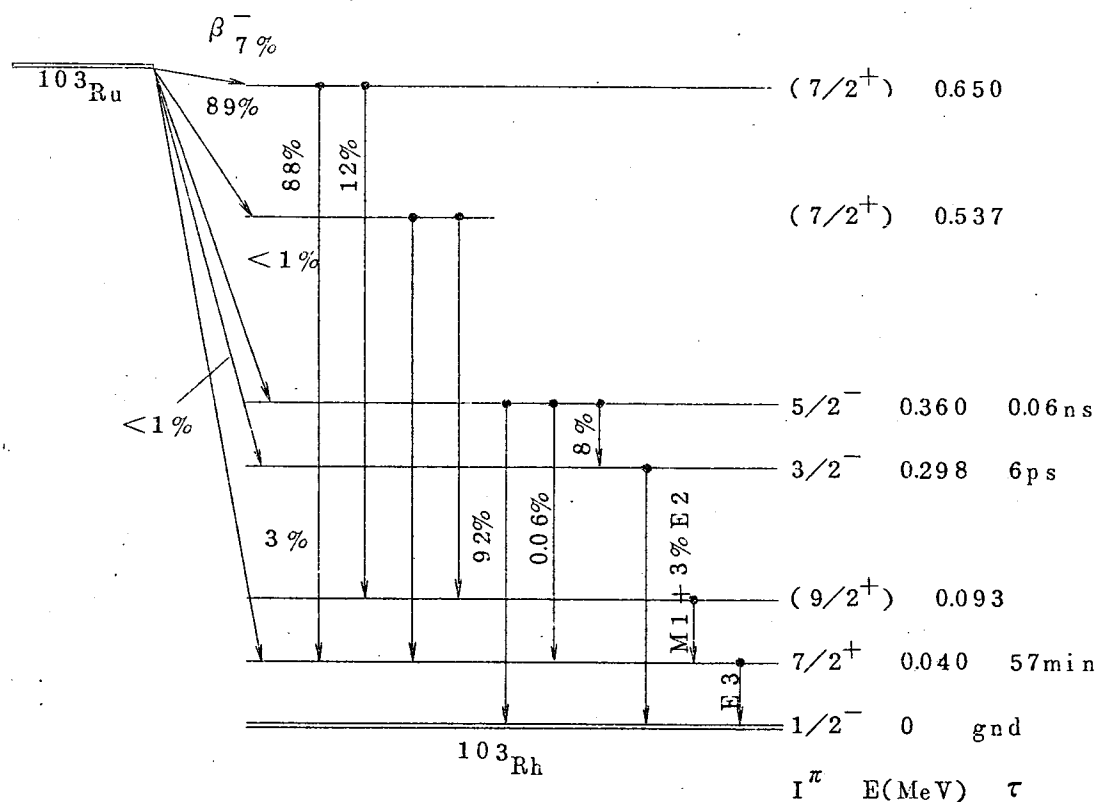


Fig. 1 ^{103}Rh の準位構造・崩壊図

Fig. 1に見る通り，40 keVの準位を直接的に励起しうるとしても，それには，大きい角運動量を持ち込み，かつ パリティを変えなければならないことがわかる。

1例として，“P”中性子を捕獲して，“d”を放出するような場合が挙げられる。次には，より高い準位から，この準位に遷移する場合があるが，選択則から

- 1) 入射エネルギー 300 keV 以下では，非弾性散乱断面積は小さく，したがつて 40 keV の準安定準位生成への寄与は小さい。
- 2) 300~600 keV の範囲では $5/2^-$ の準位からの寄与が考えられて，全断面積に対するこの準位(40 keV)生成の断面積の比は，それほど小さくはない。
- 3) 600 keV 以上では，生成の断面積はますと大きくなる，と考えられる。

準安定準位からの放射線の検出

40 keV の準安定準位から基底状態への遷移は E 3 であつて，これは強く内部電子に変換する。そして，K，L，M …… 裂から出る電子エネルギーは，それぞれ，39，37，17，…… keV である。その他に K 変換の 20 keV，L 変換の約 3 keV の X 線に變るものや，17 または 19 keV の K-電子放射による L または M の Auger 電子などに變るものがある。したがつて，遷移強度の測定も，X 線を，または電子を対象にするかの方法に分けられて，後者の場合，自己吸収が重大な影響を与える。その他，変換電子と Auger 電子の同時測定もあるが，多くの実験者は，20 keV の X 線を測っている。

40 keV 準位のデータの値

- 1) エネルギー；39.6~40.4 keV の間の値があるが，こゝでは，40.0 keV を採用する。
- 2) 寿命；56.0~57.5 分があるが，次の値をとる。
 $\tau = 56.8 \pm 0.2 \text{ min}$
- 3) 内部電子変換係数； α ；大体 500 であるが，250 という値もあり，一方理論値は 1000 以上である。
- 4) K 裂電子の X (K) 線への変換係数；表 1 (C. E. Roos の報告による)

測定者	測定値
I. Backhurst	0.801
R. J. Stephenson	0.77
C. E. Roos	0.779
C. E. Roos	0.786 ± 0.015

表 1.

5) $K/(K+L+M)$ の値 (K 裂の変換数 n 対する他の裂での変換数の比) と 40 keV 準位からの 1 遷移当りの 20 keV X 線の数; 表 2.

測定者	年代	$K/K+L+M$	遷移当りの 20 keV X 線の数
Kondaiah	1950	0.167 ± 0.07	0.130 ± 0.031
Cork et al	1951	0.09 ± 0.04	0.07 ± 0.03
De Raad et al	1954		0.0805 ± 0.005
Avignon et al	1955	0.083 ± 0.01	0.065 ± 0.008
Drabkin	1955	0.136 ± 0.015	0.106 ± 0.012
Vuorinen	1966	0.099 ± 0.010 0.093 ± 0.010	0.077 ± 0.0046 0.725 ± 0.007
Bresesti et al	1967	0.0898 ± 0.0050	0.0700 ± 0.0035

表 2.

この表で, Bresesti と Vuorinen の値は一致している。Avignon の実際の値は, $K/(K+L) = 0.083 \pm 0.01$ である。Kondaiah と Drabkin の値は, 共に大きく, 測定において Auger 電子と K 電子間の混同によるものだろう。Vuorinen は 2 つの値を出しているが, 互に異なつた方法による値である。

1 遷移当りの 20 keV X 線の数については, 全部の平均値は, 0.0748 ± 0.0022 であるが, Kondaiah と Drabkin のデータを除くと 0.0735 ± 0.0022 であるから, こゝでは 0.074 ± 0.003 を採用する。

$^{103}\text{Rh}(n, n')$ $^{103}\text{Rh}^m$ の断面積の評価

年代順に測定例を調べると, 次のようになる。

- 1957年 Rothman et al. は, 早い中性子の $^{103}\text{Rh}(n, n')$ の実験を, 小さい NaI 結晶検出器を用いて行つているが, 40 keV の準位については値を与えていない。
- 1963年, R. Beauge は, 前の値を用いて, 準安定準位の生成断面積を計算している。
1967年に Kohler と Knopf, 2 MeV に対して $\sigma_{n, n'}(^{103}\text{Rh}^m) = 0.8 \text{ barn}$ を出している。

1959年に Howerton, 1960年に Mac Hyder の値について R. Beauge の報告がある。また, 1960年に Jones と Garvey の測定がある。Treibilcock は ^{103}Rh の利用について(その際 2.5MeV で, 770mb の値をとつてゐる)貢献している。

1963年頃, E. W. Vogt と W.G. Cross は, 2.6~14 MeV 間で K-X 線を利用して測定を行い, 遷移当りの X 線数として, 0.08 ± 0.005 なる値を出しているが, これ

は後程 0.074 と改められた。この修正は 9 % の断面積増大に当る。この値から Roy は 3 MeV 以下の断面積の計算を行つてゐる。

- 3) 1964年に Fahrmann, 1966年に Zijp は、検出体として的一般的な問題を調べ、それまでに得られたデータを整理した。1964年 Beckurts と Wirtz の断面積のカーブが Beauge によつて、そのエネルギー範囲が拡張された。
- 4) 1965年 Nagel と Aten は $^{103}\text{Rh}(n, n')$ について 14.2 MeV で絶対測定を行つた。 $\tau(^{103}\text{Rh}^m)$ として 56 min の値を出し、 $^{103}\text{Ru} \rightarrow ^{103}\text{Rh}^m$ の関係から 20 keV の X 線の変換係数を求めてゐる。この際 $^{103}\text{Ru} \rightarrow ^{103}\text{Rh}^m$ への遷移は 100 %, Ru の寿命は 40 日としている。
また、約 20 keV X 線中の Rh の割合が、 $89.50 \pm 0.5\%$ とし、14.2 MeV 中性子照射で、 $^{56}\text{Fe}(n, p)^{56}\text{Mn}$ (118 ± 8 mb) と $^{65}\text{Cu}(n, 2n)^{64}\text{Cu}$ (920 ± 80 mb) と比較して $\sigma_{n, n'}(^{103}\text{Rh}^m) = 508 \pm 50$ mb の値を得てゐる。
- 5) 1967 年 Kohler と Knopf は、軽水炉の炉心表面の中性子に対する断面積を決定していて、その値が中性子スペクトルに強く依存することを示してゐる。方法は Nagel と Aten の方法と同じで、断面積の値は、Vogt と Cross のカーブより 27 % 位小さくなつてゐる。
- 6) 1968年 J.P. Butler と D.C. Santry は、 $^{32}\text{S}(n, p)$ 反応基にして long counter を較正し、中性子束強度の測定方法を発表してゐる。その結果は Roy の値と比較して、500 keV で 12 %, 800 keV で 80 %, 1~4 MeV 間で 40 % 大きく、8 MeV で 2 倍となつてゐる。
- 7) 1967 年 Kimura は、 ^{103}Ru で効率較正をした薄い NaI を用いて測定し、これまでの値とよく一致する結果を出している。

以上をまとめて、核分裂時の中性子スペクトルを

$$n(E) dE = 0.4527 e^{-E/0.965} s h \sqrt{2.29 E}$$

として、表 3 のような核分裂中性子に対する平均の断面積 $\langle \sigma_n \rangle$ が得られる。

Kohler と Knopf 実験値	403 ± 40 mb
Roy のカーブからの計算値	520 mb
Butler と Santry のカーブからの計算値	710 mb

表 3.

以上の検討から， $\langle\sigma_m\rangle$ については Butler と Santry の値 $\langle\sigma_m\rangle = 710 \text{ mb}$ が良さ
そうな値と思われるが， $\sigma_m(E)$ については，これだけのデータから推算出来る値を提示することは困難であるが，次に述べるものが，妥当と考えられる。

- 1) 300 keV 以下では Butler と Santry の値
- 2) 300 keV から 1.0 MeV 間では，Roy のカーブ
- 3) 1.4 MeV までの延長には，Butler と Santry と Vogt と Cross の点を用いる。

参照文献リスト，測定の特徴表(年代別，エネルギー範囲，利用した反応，束強度測定の種類，比較時の標準反応，得た値の種類，その他)と σ (barn) と エネルギー E_n のグラフの 3 件は，省いてある。